

# К ТЕОРИИ МАГНИТОСОПРОТИВЛЕНИЯ БИНАРНЫХ КОМПОЗИТОВ В СЛАБОМ МАГНИТНОМ ПОЛЕ. РЕЗУЛЬТАТЫ ЧИСЛЕННОГО ЭКСПЕРИМЕНТА

***Б. Я. Балагуров, В. А. Кашин***

*Институт биохимической физики им. Н. М. Эмануэля Российской академии наук  
119991, Москва, Россия*

Поступила в редакцию 10 октября 2001 г.

Для двухкомпонентной неупорядоченной системы расчетами на ЭВМ найдена линейная по магнитному полю  $\mathbf{H}$  поправка к напряженности электрического поля. С использованием этой поправки вычислены и затабулированы в графическом виде две двухпараметрические функции, входящие в выражение для магнитосопротивления, в широкой области изменения этих параметров. С помощью той же поправки определена и затабулирована производная от функции, входящей в формулу для эффективного коэффициента Холла, по одному из ее аргументов. Данные, полученные в настоящей работе, вместе с предыдущими результатами авторов позволяют дать полное описание магнитосопротивления бинарных сред (композитов) в духе гипотезы подобия.

PACS: 41.20.Cv, 72.15.Gd

## 1. ВВЕДЕНИЕ

Определение гальваномагнитных характеристик трехмерных неоднородных сред (в частности, бинарных композитов) является актуальной и достаточно трудной задачей даже в случае слабого магнитного поля  $\mathbf{H}$ . Наличие дополнительных (по сравнению со случаем  $\mathbf{H} = 0$ ) параметров усложняет задачу и приводит, например, к возможности реализации различных типов критического поведения эффективного коэффициента Холла [1, 2]. Еще более сложного критического поведения следует ожидать для магнитосопротивления, где число дополнительных параметров значительно больше. Тем не менее в разработке теории гальваномагнитных свойств трехмерных двухкомпонентных сред в слабом магнитном поле имеется определенный прогресс.

Изучению линейного по  $\mathbf{H}$  приближения — эффекта Холла — посвящен ряд работ (см., например, [1–5]). Шкловским [1] предложена удачная аппроксимационная формула для описания эффективного коэффициента Холла  $R_e$  в окрестности точки фазового перехода металл–диэлектрик. Результаты работы [1] дают качественное описание  $R_e$  в критической области, оставляя открытым вопрос о количественном

подходе к этой проблеме. В работе Скал [2] получено точное (в линейном по  $\mathbf{H}$  приближении) формальное выражение для  $R_e$ , однако оно не было соответствующим образом теоретически проанализировано и использовалось только для численного исследования коэффициента Холла. Наконец, в [3, 4] выражение для  $R_e$  в случае бинарных систем доведено до уровня двухпараметрической функции (см. ниже), причем дано ее явное выражение через напряженность электрического поля в среде при  $\mathbf{H} = 0$ . Отметим, что в [3] рассмотрен только коэффициент Холла и отсутствует способ вычисления следующих по  $\mathbf{H}$  приближений.

Схема последовательного вычисления гальваномагнитных характеристик бинарных композитов в слабом магнитном поле предложена в работе [4]. В ней развита теория возмущений — разложение по степеням  $\mathbf{H}$  — и кроме коэффициента Холла достаточно подробно рассмотрено магнитосопротивление. В работе [4] установлена структура квадратичной по  $\mathbf{H}$  части эффективного тензора проводимости  $\hat{\sigma}_e$ , т. е. ее зависимость от гальваномагнитных характеристик отдельных компонент. Коэффициенты при этих характеристиках определяются свойствами среды при  $\mathbf{H} = 0$  и являются функциями двух

аргументов — концентрации  $p$  и отношения проводимостей компонент  $h = \sigma_2/\sigma_1$ . В квадратичном по  $\mathbf{H}$  приближении возникает десять таких не определяемых в теории функций и еще одна — в линейном приближении.

Большая часть этих функций выражается через напряженность электрического поля в среде при  $\mathbf{H} = 0$ , что позволяет определять их в рамках стандартной задачи о проводимости. Кроме того, между этими функциями в [4] установлен ряд соотношений, что позволяет ограничиться вычислением только некоторых из них. В работе [5] проведен комплексный численный эксперимент, в ходе которого наряду с проводимостью определялись и упомянутые выше функции, входящие в выражения для коэффициента Холла и для магнитосопротивления. В [5] остались не определенными две функции ( $\chi_x$  и  $\chi_z$ ), для вычисления которых необходимо найти линейную по  $\mathbf{H}$  поправку к напряженности электрического поля и, тем самым, выйти за рамки задачи о проводимости.

Настоящая работа посвящена определению численными методами величин  $\chi_x$  и  $\chi_z$  как функций  $p$  и  $h$  в широкой области изменения этих аргументов. С этой целью проведено моделирование задачи о гальваномагнитных свойствах бинарных композитов на паре простых кубических решеток — основной и дополнительной, обобщающей двумерную дульную на трехмерный случай. Задача об электрическом поле в среде решалась итерационным методом [5, 6] в два этапа: сначала находились потенциалы во всех узлах обеих решеток при  $\mathbf{H} = 0$ , а затем искались линейные по  $\mathbf{H}$  поправки к ним. В обоих случаях применялся чебышевский метод полиномиального ускорения основного итерационного процесса [6]. На первом этапе использовался тот же способ контроля правильности расчетов и оценки их точности, что и в [5], — по разбросу в значениях полного тока, вычисленных в каждом сечении образца. На втором этапе соответствующий контроль осуществлялся сравнением значений функции  $\varphi$  (входящей в выражение для эффективного коэффициента Холла), определенных двумя разными способами, см. разд. 5.

С помощью общих формул из [4] по найденным потенциалам нулевого и первого приближений вычислялись функции  $\chi_x$  и  $\chi_z$  во всем интервале изменения концентрации  $p$  при трех значениях аргумента  $h$ . Соответствующие результаты представлены в графическом виде ниже на рис. 3 и 4. Достаточно подробно рассмотрено поведение величин  $\chi_x$  и  $\chi_z$  в окрестности точки фазового перехода ме-

талл–диэлектрик, и проведена оценка критических индексов этих функций. Таким образом, результаты, полученные в [5] и в настоящей работе, позволяют дать количественное описание магнитосопротивления бинарных композитов, свойства которых адекватно воспроизводятся в рамках решеточной модели. Для прочих неупорядоченных двухкомпонентных систем эти результаты дают качественное, «на уровне критических индексов» (т. е. в духе стандартной гипотезы подобия [7]), описание магнитосопротивления.

Знание линейной по  $\mathbf{H}$  поправки  $\mathbf{E}_1(\mathbf{r})$  к напряженности электрического поля позволяет по-новому подойти к проблеме изучения свойств функции  $\varphi$ , входящей в выражение для эффективного коэффициента Холла. Дело в том, что с помощью  $\mathbf{E}_1(\mathbf{r})$  можно найти производную  $\partial\varphi/\partial h$  без затруднительного численного дифференцирования. Это дает возможность найти независимым, по существу, способом критические индексы, а также один из коэффициентов в разложении  $\varphi$ , неопределенным из данных для самой функции  $\varphi$ . Таким образом, результаты для величины  $\varphi$  из [5] и для производной  $\partial\varphi/\partial h$  из настоящей работы позволяют дать детальное описание функции  $\varphi$  во всем интервале изменения каждого из ее аргументов, в том числе в критической области.

## 2. ОСНОВНЫЕ СООТНОШЕНИЯ

Проводимость изотропной среды, помещенной в магнитное поле  $\mathbf{H}$ , описывается тензором

$$\hat{\sigma} = \begin{pmatrix} \sigma_x & \sigma_a & 0 \\ -\sigma_a & \sigma_x & 0 \\ 0 & 0 & \sigma_z \end{pmatrix}, \quad (1)$$

где принято, что  $\mathbf{H}$  направлено вдоль оси  $z$ . В целях упрощения последующих формул в (1) введены обозначения:  $\sigma_x = \sigma_{xx} = \sigma_{yy}$ ,  $\sigma_z = \sigma_{zz}$  и  $\sigma_a = \sigma_{xy} = -\sigma_{yx}$  соответственно для поперечной, продольной и недиагональной (холловской) составляющих тензора проводимости  $\hat{\sigma}$ . В слабом магнитном поле ( $\mathbf{H} \rightarrow 0$ ) величина  $\sigma_a$  линейна по  $H$ , а поправки в  $\sigma_x$  и  $\sigma_z$  — квадратичны:

$$\begin{aligned} \sigma_x &= \sigma + \gamma_x, & \sigma_z &= \sigma + \gamma_z; \\ \gamma_x &\propto H^2, & \gamma_z &\propto H^2. \end{aligned} \quad (2)$$

Здесь  $\sigma = \sigma(\mathbf{r})$  — проводимость среды при  $\mathbf{H} = 0$ . Составляющие эффективного тензора проводимости  $\sigma_e$  при  $\mathbf{H} \rightarrow 0$  обладают теми же свойствами, что и  $\hat{\sigma}$  из (1): в разложение величины  $\sigma_{ae}$  входят

только нечетные по  $H$  члены, а в  $\sigma_{xe}$  и  $\sigma_{ze}$  — только четные.

Для двухкомпонентной среды (бинарного композита) эффективная проводимость  $\sigma_e$  (при  $\mathbf{H} = 0$ ) может быть записана в виде

$$\sigma_e = \sigma_1 f(p, h), \quad h = \frac{\sigma_2}{\sigma_1}, \quad (3)$$

где  $p$  — концентрация (доля занимаемого объема) первой компоненты,  $\sigma_i$  — проводимость  $i$ -й компоненты. В линейном по  $\mathbf{H}$  приближении для холловской составляющей согласно [4] имеем

$$\sigma_{ae} = \sigma_{a2} + (\sigma_{a1} - \sigma_{a2})\varphi(p, h). \quad (4)$$

Функция  $\varphi$  определяется свойствами среды при  $\mathbf{H} = 0$  и может быть выражена через напряженность электрического поля [4]:

$$\varphi = \langle e_x^{(x)} e_y^{(y)} - e_y^{(x)} e_x^{(y)} \rangle^{(1)}, \quad (5)$$

$$e_\alpha^{(\nu)}(\mathbf{r}) = E_{0\alpha}^{(\nu)}(\mathbf{r}) \left( \langle E_{0\nu}^{(\nu)} \rangle \right)^{-1}. \quad (6)$$

Здесь  $\langle \dots \rangle^{(1)}$  — интеграл по объему первой компоненты, деленный на объем образца  $V_s$ ,  $E_0^{(\nu)}(\mathbf{r})$  — напряженность электрического поля в среде при  $\mathbf{H} = 0$ , где индекс  $\nu$  означает, что среднее (по всему объему  $V_s$ ) значение  $\langle E_0^{(\nu)} \rangle$  направлено вдоль оси  $\nu$ .

Запишем величины  $\sigma_{xe}$  и  $\sigma_{ze}$  в виде, аналогичном (2):

$$\begin{aligned} \sigma_{xe} &= \sigma_e + \gamma_{xe}, \quad \sigma_{ze} = \sigma_e + \gamma_{ze}; \\ \gamma_{xe} &\propto H^2, \quad \gamma_{ze} \propto H^2, \end{aligned} \quad (7)$$

где  $\sigma_e$  — то же, что и в (3). Согласно [4]  $\gamma_{xe}$  и  $\gamma_{ze}$  выражаются через гальваномагнитные характеристики отдельных компонент ( $\gamma_{xi}$ ,  $\gamma_{zi}$  и  $\sigma_{ai}$ , где  $i = 1, 2$ ) следующим образом:

$$\begin{aligned} \gamma_{xe} &= \gamma_{x1}\psi_x^{(1)} + \gamma_{z1}\psi_x^{(2)} + \gamma_{x2}\psi_x^{(3)} + \gamma_{z2}\psi_x^{(4)} + \\ &\quad + \frac{(\sigma_{a1} - \sigma_{a2})^2}{\sigma_1} \chi_x, \end{aligned} \quad (8)$$

$$\begin{aligned} \gamma_{ze} &= \gamma_{x1}\psi_z^{(1)} + \gamma_{z1}\psi_z^{(2)} + \gamma_{x2}\psi_z^{(3)} + \gamma_{z2}\psi_z^{(4)} + \\ &\quad + \frac{(\sigma_{a1} - \sigma_{a2})^2}{\sigma_1} \chi_z. \end{aligned} \quad (9)$$

Здесь безразмерные коэффициенты  $\psi_x^{(a)}$ ,  $\psi_z^{(a)}$  ( $a = 1, 2, 3, 4$ ) и  $\chi_x$ ,  $\chi_z$  зависят только от свойств среды при  $\mathbf{H} = 0$  и являются, как  $f$  и  $\varphi$ , функциями аргументов  $p$  и  $h$ . Все функции  $\psi_x^{(a)}$  выражаются через  $\psi_z^{(a)}$  [4]:

$$\begin{aligned} \psi_x^{(1)} &= \frac{1}{2}\psi_z^{(1)} + \psi_z^{(2)}, \quad \psi_x^{(2)} = \frac{1}{2}\psi_z^{(1)}, \\ \psi_x^{(3)} &= \frac{1}{2}\psi_z^{(3)} + \psi_z^{(4)}, \quad \psi_x^{(4)} = \frac{1}{2}\psi_z^{(3)}. \end{aligned} \quad (10)$$

В свою очередь функции  $\psi_z^{(a)}$  связаны между собой двумя соотношениями, содержащими безразмерную проводимость  $f$  и ее производную [4]:

$$\psi_z^{(1)} + \psi_z^{(2)} = f - h \frac{\partial f}{\partial h}, \quad \psi_z^{(3)} + \psi_z^{(4)} = \frac{\partial f}{\partial h}. \quad (11)$$

Функции  $\psi_z^{(a)}$  могут быть выражены через напряженность электрического поля в среде при  $\mathbf{H} = 0$  [4]:

$$\begin{aligned} \psi_z^{(1)} &= \langle \mathbf{e}_\perp^2 \rangle^{(1)}, \quad \psi_z^{(2)} = \langle \mathbf{e}_\parallel^2 \rangle^{(1)}, \\ \psi_z^{(3)} &= \langle \mathbf{e}_\perp^2 \rangle^{(2)}, \quad \psi_z^{(4)} = \langle \mathbf{e}_\parallel^2 \rangle^{(2)}, \end{aligned} \quad (12)$$

где  $\langle \dots \rangle^{(i)}$  — интеграл по объему  $i$ -й компоненты, деленный на объем образца  $V_s$ . Здесь  $\mathbf{e}(\mathbf{r})$  — то же, что и в (6) (где, например,  $\nu = x$ ), а  $\mathbf{e}_\perp(\mathbf{r})$  и  $\mathbf{e}_\parallel(\mathbf{r})$  — поперечная и продольная по отношению к  $\langle \mathbf{E}_0 \rangle$  составляющие вектора  $\mathbf{e}(\mathbf{r})$ . Отметим, что с помощью дискретных аналогов формул (5) и (12) в работе [5] были вычислены и засабулированы функции  $\varphi$  и  $\psi_z^{(a)}$  ( $a = 1, 2, 3, 4$ ). В частности, в [5] исследовано поведение этих функций в окрестности точки фазового перехода металл–диэлектрик и даны оценки для критических индексов, а также для численных коэффициентов соответствующих разложений  $\varphi$  и  $\psi_z^{(a)}$  в критической области.

Для определения функций  $\chi_x$  и  $\chi_z$  из (8) и (9) нужно знать линейную по  $\mathbf{H}$  поправку  $\mathbf{E}_1^{(\nu)}(\mathbf{r})$  к напряженности электрического поля:  $\mathbf{E}^{(\nu)}(\mathbf{r}) = \mathbf{E}_0^{(\nu)}(\mathbf{r}) + \mathbf{E}_1^{(\nu)}(\mathbf{r}) + \dots$  Эта поправка согласно [4] пропорциональна величине  $(\sigma_{a1} - \sigma_{a2})$ , так что, положив

$$\mathbf{E}_1^{(\nu)}(\mathbf{r}) = \frac{\sigma_{a1} - \sigma_{a2}}{\sigma_1} \boldsymbol{\mathcal{E}}^{(\nu)}(\mathbf{r}), \quad (13)$$

для функций  $\chi_x$  и  $\chi_z$  при  $\langle \boldsymbol{\mathcal{E}}^{(\nu)} \rangle = 0$  будем иметь следующие выражения [4]:

$$\chi_x = \frac{\langle E_{0x}^{(x)} \mathcal{E}_y^{(\nu)} - E_{0y}^{(x)} \mathcal{E}_x^{(\nu)} \rangle^{(1)}}{\langle E_{0x}^{(x)} \rangle \langle E_{0\nu}^{(\nu)} \rangle}, \quad \nu = x, y, \quad (14)$$

$$\chi_z = \frac{\langle E_{0x}^{(z)} \mathcal{E}_y^{(z)} - E_{0y}^{(z)} \mathcal{E}_x^{(z)} \rangle^{(1)}}{\langle E_{0z}^{(z)} \rangle^2}. \quad (15)$$

Отметим, что согласно (13) величина  $\boldsymbol{\mathcal{E}}^{(\nu)}(\mathbf{r})$  не содержит магнитного поля и, следовательно, имеет «нормальный» (как и  $\mathbf{E}_0^{(\nu)}(\mathbf{r})$ ) порядок величины. При вычислении функции  $\chi_x$  по формуле (14) можно в равной степени полагать как  $\nu = x$ , так и  $\nu = y$ .

Для продольного магнитосопротивления

$$\frac{\Delta\rho_{ze}}{\rho_{ze}} = \frac{\rho_{ze}(\mathbf{H}) - \rho_{ze}(0)}{\rho_{ze}(0)},$$

где  $\rho_z = 1/\sigma_z$  — продольное удельное сопротивление, в квадратичном по  $\mathbf{H}$  приближении имеем

$$\frac{\Delta\rho_{ze}}{\rho_{ze}} = -\frac{\gamma_{ze}}{\sigma_e} \quad (16)$$

с  $\gamma_{ze}$  из (9). Соответственно, для поперечного магнитосопротивления

$$\frac{\Delta\rho_{xe}}{\rho_{xe}} = \frac{\rho_{xe}(\mathbf{H}) - \rho_{xe}(0)}{\rho_{xe}(0)},$$

где  $\rho_x = \sigma_x/(\sigma_x^2 + \sigma_a^2)$  — поперечное удельное сопротивление, в том же приближении имеем

$$\frac{\Delta\rho_{xe}}{\rho_{xe}} = -\left(\frac{\gamma_{xe}}{\sigma_e} + \frac{\sigma_{ae}^2}{\sigma_e^2}\right) \quad (17)$$

с  $\sigma_{ae}$  из (4) и  $\gamma_{xe}$  из (8).

Заметим, что знание поправки  $\mathbf{E}_1^{(\nu)}(\mathbf{r})$  позволяет вычислить функцию  $\varphi$  из (4) другим, отличным от (5), способом. С помощью метода из работы [4] нетрудно показать, что для  $\varphi$  при  $\langle \mathcal{E}^{(\nu)} \rangle = 0$  справедливо следующее выражение:

$$\varphi = \frac{f - h}{1 - h} + (1 - h) \frac{\langle \mathcal{E}_x^{(y)} \rangle^{(1)}}{\langle E_{0y}^{(y)} \rangle}. \quad (18)$$

Здесь  $f$  определено в (3),  $\mathcal{E}^{(\nu)}(\mathbf{r})$  в (13). Сравнение вычисленных с помощью формул (5) и (18) значений функции  $\varphi$  дает возможность контролировать правильность вычисления поправки  $\mathbf{E}_1^{(\nu)}(\mathbf{r})$ .

С помощью метода из работы [4] можно показать также, что через  $\mathbf{E}_1^{(\nu)}(\mathbf{r})$  (точнее, через  $\mathcal{E}^{(\nu)}(\mathbf{r})$ ) выражается производная от функции  $\varphi(p, h)$  по аргументу  $h$ :

$$\frac{\partial\varphi}{\partial h} = -\frac{1}{h} \frac{\langle \mathbf{E}_0^{(x)} \mathcal{E}^{(y)} - \mathbf{E}_0^{(y)} \mathcal{E}^{(x)} \rangle^{(1)}}{\langle E_{0x}^{(x)} \rangle \langle E_{0y}^{(y)} \rangle}. \quad (19)$$

Выражение (19) справедливо при  $\langle \mathcal{E}^{(x)} \rangle = \langle \mathcal{E}^{(y)} \rangle = 0$ . Вычисление производной  $\partial\varphi/\partial h$  с помощью формулы (19) позволяет, во-первых, избавиться от затруднительного численного дифференцирования и, во-вторых, провести более детальное исследование функции  $\varphi(p, h)$ , в том числе и в критической области.

### 3. МОДЕЛИРОВАНИЕ ГАЛЬВАНОМАГНИТНЫХ ЯВЛЕНИЙ

Исследование различных свойств неоднородных сред численными методами проводится, как правило, на решеточных моделях. Так, например, электропроводность бинарных систем достаточно подробно

изучена с помощью кубических решеток со случайнym распределением связей двух типов — с проводимостями  $\sigma_1$  и  $\sigma_2$  [8] (см. также [5]). Существенно, что при малой концентрации одной из компонент отдельная «примесная» связь дает такой же вклад в эффективную проводимость, что и сферическое включение в непрерывной задаче. Этот факт позволяет надеяться, что такая решеточная модель правильно «ухватывает» основные черты зависимости проводимости бинарного композита от ее аргументов  $p$  и  $h$  во всей области их изменения. Подобное соответствие с непрерывной задачей желательно сохранить и при исследовании с помощью решеток гальваномагнитных свойств бинарных сред.

В настоящей работе предлагается моделировать гальваномагнитные явления при помощи пары решеток — основной и дополнительной. Основная решетка — простая кубическая, связи которой с вероятностью  $p$  принадлежат к первому типу (с проводимостями  $\sigma_{x1}, \sigma_{z1}, \sigma_{a1}$ ) и с вероятностью  $(1 - p)$  — ко второму (с проводимостями  $\sigma_{x2}, \sigma_{z2}, \sigma_{a2}$ ). Дополнительная решетка — также простая кубическая — получается из основной переходом к дуальной в плоскости  $(x, y)$  и параллельным переносом вертикальных (вдоль оси  $z$ ) связей, см. рис. 1. При рассматриваемом в настоящей работе случайном распределении связей основная и дополнительная решетки равноправны.

Дискретным аналогом уравнения постоянного тока  $\operatorname{div} \mathbf{j} = 0$  является закон Кирхгофа — равенство суммы входящих в узел  $\mathbf{r}$  токов сумме выходящих из  $\mathbf{r}$  токов. Для простой кубической решетки закон

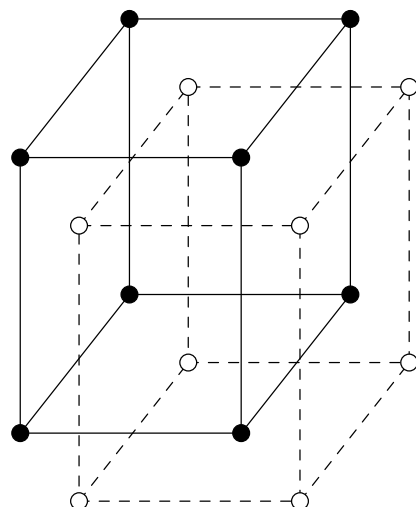


Рис. 1. Элементы основной (сплошные линии) и дополнительной (штриховые линии) решеток

Кирхгофа имеет вид

$$\sum_{\Delta=\Delta_x, \Delta_y, \Delta_z} \{j_{\mathbf{r}, \mathbf{r}+\Delta} - j_{\mathbf{r}-\Delta, \mathbf{r}}\} = 0, \quad (20)$$

где суммирование проводится по ближайшим соседям:  $\Delta_x = (1, 0, 0)$ ,  $\Delta_y = (0, 1, 0)$ ,  $\Delta_z = (0, 0, 1)$ . В (20)  $j_{\mathbf{r}, \mathbf{r}+\Delta}$  — ток, протекающий по связи, соединяющей узлы  $\mathbf{r}$  и  $\mathbf{r} + \Delta$ .

Припишем каждому узлу  $\mathbf{r}$  основной решетки потенциал  $V_{\mathbf{r}}$ ; соответственно каждому узлу

$$\boldsymbol{\rho} = \mathbf{r} + \frac{\Delta_x}{2} - \frac{\Delta_y}{2}$$

дополнительной решетки припишем потенциал  $\tilde{V}_{\boldsymbol{\rho}}$ . Тогда для равенств, справедливых для непрерывной модели при  $\mathbf{H} \neq 0$ ,

$$j_x = \sigma_x E_x + \sigma_a E_y, \quad j_y = -\sigma_a E_x + \sigma_x E_y, \quad j_z = \sigma_z E_z$$

(где  $\mathbf{E} = -\nabla V(\mathbf{r})$ ), будем иметь следующие дискретные аналоги:

$$\begin{aligned} j_{\mathbf{r}, \mathbf{r}+\Delta_x} &= \sigma_{\mathbf{r}, \mathbf{r}+\Delta_x}^x (V_{\mathbf{r}} - V_{\mathbf{r}+\Delta_x}) + \\ &+ \sigma_{\mathbf{r}, \mathbf{r}+\Delta_x}^a (\tilde{V}_{\boldsymbol{\rho}} - \tilde{V}_{\boldsymbol{\rho}+\Delta_y}), \\ j_{\mathbf{r}, \mathbf{r}+\Delta_y} &= -\sigma_{\mathbf{r}, \mathbf{r}+\Delta_y}^a (\tilde{V}_{\boldsymbol{\rho}-\Delta_x+\Delta_y} - \tilde{V}_{\boldsymbol{\rho}+\Delta_y}) + \quad (21) \\ &+ \sigma_{\mathbf{r}, \mathbf{r}+\Delta_y}^x (V_{\mathbf{r}} - V_{\mathbf{r}+\Delta_y}), \\ j_{\mathbf{r}, \mathbf{r}+\Delta_z} &= \sigma_{\mathbf{r}, \mathbf{r}+\Delta_z}^z (V_{\mathbf{r}} - V_{\mathbf{r}+\Delta_z}). \end{aligned}$$

Здесь  $\sigma_{\mathbf{r}, \mathbf{r}+\Delta}^{\gamma}$  (где  $\gamma = x, z, a$ ) — соответствующая проводимость связи между узлами  $\mathbf{r}$  и  $\mathbf{r} + \Delta$ . Величины  $j_{\mathbf{r}, \mathbf{r}+\Delta_{\alpha}}$  (где  $\alpha = x, y, z$ ) в (21) — выходящие из узла  $\mathbf{r}$  токи. Выражения для входящих в узел  $\mathbf{r}$  токов  $j_{\mathbf{r}-\Delta_{\alpha}, \mathbf{r}}$  следуют из (21) при заменах  $\mathbf{r} \rightarrow \mathbf{r} - \Delta_{\alpha}$  (с  $\alpha = x, y, z$ ) и  $\boldsymbol{\rho} \rightarrow \boldsymbol{\rho} - \Delta_{\alpha}$  (с  $\alpha = x, y$ ).

Подстановка  $j_{\mathbf{r}, \mathbf{r}+\Delta_{\alpha}}$  из (21) и соответствующих выражений для  $j_{\mathbf{r}-\Delta_{\alpha}, \mathbf{r}}$  в (20) дает

$$\begin{aligned} \sum_{\Delta=\pm\Delta_x, \pm\Delta_y} &= \sigma_{\mathbf{r}, \mathbf{r}+\Delta}^x (V_{\mathbf{r}} - V_{\mathbf{r}+\Delta}) + \\ &+ \sum_{\Delta=\pm\Delta_z} \sigma_{\mathbf{r}, \mathbf{r}+\Delta}^z (V_{\mathbf{r}} - V_{\mathbf{r}+\Delta}) = \\ &= -\sigma_{\mathbf{r}, \mathbf{r}+\Delta_x}^a (\tilde{V}_{\boldsymbol{\rho}} - \tilde{V}_{\boldsymbol{\rho}+\Delta_y}) + \\ &+ \sigma_{\mathbf{r}-\Delta_x, \mathbf{r}}^a (\tilde{V}_{\boldsymbol{\rho}-\Delta_x} - \tilde{V}_{\boldsymbol{\rho}-\Delta_x+\Delta_y}) + \\ &+ \sigma_{\mathbf{r}, \mathbf{r}+\Delta_y}^a (\tilde{V}_{\boldsymbol{\rho}-\Delta_x+\Delta_y} - \tilde{V}_{\boldsymbol{\rho}+\Delta_y}) - \\ &- \sigma_{\mathbf{r}-\Delta_y, \mathbf{r}}^a (\tilde{V}_{\boldsymbol{\rho}-\Delta_x} - \tilde{V}_{\boldsymbol{\rho}}). \quad (22) \end{aligned}$$

Для дополнительной решетки аналогичным образом находим

$$\begin{aligned} \sum_{\Delta=\pm\Delta_x, \pm\Delta_y} \sigma_{\boldsymbol{\rho}, \boldsymbol{\rho}+\Delta}^x (\tilde{V}_{\boldsymbol{\rho}} - \tilde{V}_{\boldsymbol{\rho}+\Delta}) + \\ + \sum_{\Delta=\pm\Delta_z} \sigma_{\boldsymbol{\rho}, \boldsymbol{\rho}+\Delta}^z (\tilde{V}_{\boldsymbol{\rho}} - \tilde{V}_{\boldsymbol{\rho}+\Delta}) = \\ = -\sigma_{\boldsymbol{\rho}, \boldsymbol{\rho}+\Delta_x}^a (V_{\mathbf{r}+\Delta_x-\Delta_y} - V_{\mathbf{r}+\Delta_x}) + \\ + \sigma_{\boldsymbol{\rho}-\Delta_x, \boldsymbol{\rho}}^a (V_{\mathbf{r}-\Delta_y} - V_{\mathbf{r}}) + \\ + \sigma_{\boldsymbol{\rho}, \boldsymbol{\rho}+\Delta_y}^a (V_{\mathbf{r}} - V_{\mathbf{r}+\Delta_x}) - \\ - \sigma_{\boldsymbol{\rho}-\Delta_y, \boldsymbol{\rho}}^a (V_{\mathbf{r}-\Delta_y} - V_{\mathbf{r}+\Delta_x-\Delta_y}). \quad (23) \end{aligned}$$

В соответствии с процедурой построения дополнительной решетки имеют место следующие равенства:

$$\begin{aligned} \sigma_{\boldsymbol{\rho}, \boldsymbol{\rho}+\Delta_x}^{\gamma} &= \sigma_{\mathbf{r}+\Delta_x-\Delta_y, \mathbf{r}+\Delta_x}^{\gamma}, \\ \sigma_{\boldsymbol{\rho}, \boldsymbol{\rho}+\Delta_y}^{\gamma} &= \sigma_{\mathbf{r}, \mathbf{r}+\Delta_x}^{\gamma}, \\ \sigma_{\boldsymbol{\rho}-\Delta_x, \boldsymbol{\rho}}^{\gamma} &= \sigma_{\mathbf{r}-\Delta_y, \mathbf{r}}^{\gamma}, \\ \sigma_{\boldsymbol{\rho}-\Delta_y, \boldsymbol{\rho}}^{\gamma} &= \sigma_{\mathbf{r}-\Delta_y, \mathbf{r}+\Delta_x-\Delta_y}^{\gamma}, \dots, \end{aligned}$$

(где  $\gamma = x, y, a$ ) и  $\sigma_{\boldsymbol{\rho}, \boldsymbol{\rho}+\Delta_z}^z = \sigma_{\mathbf{r}, \mathbf{r}+\Delta_z}^z$ .

Совместное решение систем уравнений (22), (23) (при соответствующих граничных условиях) позволяет найти потенциалы  $V_{\mathbf{r}}$  и  $\tilde{V}_{\boldsymbol{\rho}}$ , что в свою очередь дает возможность вычислить гальваномагнитные характеристики исследуемой решеточной модели. Отметим, что уравнения (22), (23) справедливы для всех точек  $\mathbf{r}$  и  $\boldsymbol{\rho}$  кроме, возможно, граничных узлов (см. разд. 4).

Заметим, что если  $\sigma_{\mathbf{r}, \mathbf{r}+\Delta}^a$  и  $\sigma_{\boldsymbol{\rho}, \boldsymbol{\rho}+\Delta}^a$  не зависят от координат, то правые части (22) и (23) обращаются в нуль, так что холловская составляющая  $\sigma^a$  из уравнений для потенциалов выпадает. Поэтому подстановка

$$\begin{aligned} \sigma_{\mathbf{r}, \mathbf{r}+\Delta}^a &\rightarrow \sigma_{\mathbf{r}, \mathbf{r}+\Delta}^a + \text{const}, \\ \sigma_{\boldsymbol{\rho}, \boldsymbol{\rho}+\Delta}^a &\rightarrow \sigma_{\boldsymbol{\rho}, \boldsymbol{\rho}+\Delta}^a + \text{const} \end{aligned} \quad (24)$$

не меняет уравнений (22) и (23), оставляя неизменными потенциалы  $V_{\mathbf{r}}$  и  $\tilde{V}_{\boldsymbol{\rho}}$ , хотя токи (21) (и аналогичные выражения для  $\tilde{j}_{\boldsymbol{\rho}, \boldsymbol{\rho}+\Delta}$ ) при этом очевидным образом преобразуются. Этим заменам в непрерывном случае имеется аналог — преобразование симметрии [4]  $\mathbf{E} = \mathbf{E}'$ ,  $\mathbf{j} = \mathbf{j}' + \hat{C}\mathbf{E}'$  (где  $\hat{C}$  — антисимметричный тензор, не зависящий от координат), не меняющее уравнения постоянного тока  $\text{rot } \mathbf{E} = 0$ ,  $\text{div } \mathbf{j} = 0$ . При этом тензор проводимости преобразуется согласно  $\hat{\sigma}(\mathbf{r}) \rightarrow \hat{\sigma}'(\mathbf{r}) = \hat{\sigma}(\mathbf{r}) - \hat{C}$ , что эквивалентно подстановке (24). Существование такого преобразования означает, в частности, что линейная по  $\mathbf{H}$  поправка к напряженности электрического поля  $\mathbf{E}_1(\mathbf{r})$  пропорциональна величине  $(\sigma_{a1} - \sigma_{a2})$ .

Отмеченным обстоятельством можно воспользоваться следующим образом. Выбрав в (24) в качестве const холловскую составляющую тензора проводимости второй компоненты  $\sigma_{a2}$  (или  $\sigma_{a1}$ ) с обратным знаком, добьемся обращения в нуль в правых частях (22) и (23) всех членов, относящихся к связям второго (или первого) типа. Этот прием можно использовать при численном анализе системы уравнений (22), (23) для некоторого упрощения расчетов.

В заключение этого раздела отметим, что решение задачи о потенциале в основной (и, соответственно, в дополнительной) решетке с одной «дефектной» связью с помощью уравнений (22) и (23) показывает почти полное совпадение с аналогичной непрерывной задачей (см. например, [9]). Единственное отличие — это замена коэффициентов деполяризации  $n^{(\alpha)}$  [10] на их решеточные аналоги  $N^{(\alpha)}$  (при  $\sigma_x = \sigma_y \neq \sigma_z$ ):

$$N^{(z)} = \iiint_{-\pi}^{\pi} \frac{\sigma_z(1 - \cos k_z)}{\sigma_x [(1 - \cos k_x) + (1 - \cos k_y)] + \sigma_z(1 - \cos k_z)} \frac{d\mathbf{k}}{(2\pi)^3}, \quad (25)$$

$$N^{(x)} = N^{(y)} = \frac{1}{2}(1 - N^{(z)}).$$

Значения величин  $N^{(\alpha)}$  численно близки к соответствующим значениям  $n^{(\alpha)}$  при всех  $\sigma_x/\sigma_z \lesssim 1$ . В частности, при  $\sigma_x = \sigma_y = \sigma_z$  для  $N^{(\alpha)}$ , как и для  $n^{(\alpha)}$ , имеем  $N^{(x)} = N^{(y)} = N^{(z)} = 1/3$ .

#### 4. ОРГАНИЗАЦИЯ ЧИСЛЕННОГО ЭКСПЕРИМЕНТА

В настоящей работе численный эксперимент поставлен на паре простых кубических решеток размера  $N \times N \times N = 51 \times 51 \times 51$  узлов или, соответственно,  $50 \times 50 \times 50$  связей каждая. В общем случае немальных магнитных полей  $\mathbf{H}$  системы уравнений (22), (23) для  $V_{\mathbf{r}}$  и  $\tilde{V}_{\rho}$  необходимо решать совместно. В слабом магнитном поле систему (22), (23) можно решать с помощью теории возмущений — разложением по степеням  $\mathbf{H}$ . В этом случае потенциалы  $V_{\mathbf{r}}$  и  $\tilde{V}_{\rho}$  представляются рядами

$$V_{\mathbf{r}} = V_{\mathbf{r}}^{(0)} + V_{\mathbf{r}}^{(1)} + \dots, \quad \tilde{V}_{\rho} = \tilde{V}_{\rho}^{(0)} + \tilde{V}_{\rho}^{(1)} + \dots, \quad (26)$$

где  $V_{\mathbf{r}}^{(n)}$  и  $\tilde{V}_{\rho}^{(n)}$  — члены  $n$ -го порядка по  $\mathbf{H}$ .

В нулевом по  $\mathbf{H}$  приближении для потенциалов  $V_{\mathbf{r}}^{(0)}$  имеем систему уравнений

$$\sum_{\Delta} \sigma_{\mathbf{r}, \mathbf{r}+\Delta} \left( V_{\mathbf{r}}^{(0)} - V_{\mathbf{r}+\Delta}^{(0)} \right) = 0, \quad (27)$$

где  $\sigma_{\mathbf{r}, \mathbf{r}+\Delta}$  — проводимость (при  $\mathbf{H} = 0$ ) связи между узлами  $\mathbf{r}$  и  $\mathbf{r} + \Delta$ ; суммирование в (27) ведется по всем ближайшим соседям. Величина  $\sigma_{\mathbf{r}, \mathbf{r}+\Delta}$  принимает значение  $\sigma_1$  с вероятностью  $p$  («чистые» связи) и  $\sigma_2$  — с вероятностью  $(1 - p)$  («дефектные» связи). Узлам двух противоположных внешних граней решетки, перпендикулярных оси  $x$ , приписываются

постоянные значения потенциала — соответственно 0 и 1. В направлениях осей  $y$  и  $z$  задаются периодические граничные условия.

При проведении конкретных расчетов система уравнений (27) записывается, как и в [5], в квазидиагональном виде

$$\hat{A} \mathbf{v}^{(0)} = \mathbf{b}^{(0)}. \quad (28)$$

Здесь  $\hat{A}$  — квадратная матрица размера  $M \times M$ , где  $M = (N-1)^2(N-2)$ , имеющая так называемый ленточный вид. Вектор  $\mathbf{v}^{(0)}$  — столбец из  $M$  элементов, составленный из искомых потенциалов  $V_{\mathbf{r}}^{(0)}$ ; вектор  $\mathbf{b}^{(0)}$  — столбец, состоящий из  $M$  элементов, из которых только  $(N-1)^2$  отличны от нуля. Ненулевая правая часть в (28) возникает из-за того, что система уравнений (27) непригодна для узлов, находящихся на внешних гранях решетки, перпендикулярных оси  $x$ .

Задача о нахождении в нулевом приближении потенциалов  $\tilde{V}_{\rho}^{(0)}$ , подчиняющихся системе уравнений

$$\sum_{\Delta} \sigma_{\rho, \rho+\Delta} \left( \tilde{V}_{\rho}^{(0)} - \tilde{V}_{\rho+\Delta}^{(0)} \right) = 0, \quad (29)$$

в узлах дополнительной решетки ставилась аналогичным образом. В этом случае граничные значения потенциала (0 и 1) присваивались узлам, находящимся на противоположных внешних гранях дополнительной решетки, перпендикулярных оси  $y$ ; в направлениях осей  $x$  и  $z$  задавались периодические граничные условия. При проведении конкретных расчетов

система (29) также записывалась в квазиодномерном виде

$$\hat{A}\tilde{\mathbf{v}}^{(0)} = \tilde{\mathbf{b}}^{(0)}. \quad (30)$$

Матрица  $\hat{A}$  и векторы  $\tilde{\mathbf{v}}^{(0)}$  и  $\tilde{\mathbf{b}}^{(0)}$  строятся аналогично соответствующим величинам из (28).

Системы уравнений (28) и (30) решались на ЭВМ итерациями с применением, как и в [5], чебышевского метода полиномиального ускорения основного итерационного процесса [6]. Найденные таким образом потенциалы  $V_{\mathbf{r}}^{(0)}$  и  $\tilde{V}_{\rho}^{(0)}$  использовались, в частности, для определения функции  $\varphi$  с помощью формулы типа (5), что служило одним из способов проверки правильности вычислений (см. ниже). Однако главное предназначение этих величин — быть «затравочными» потенциалами при вычислении линейных по  $\mathbf{H}$  поправок к  $V_{\mathbf{r}}^{(0)}$  и  $\tilde{V}_{\rho}^{(0)}$ .

В линейном по  $\mathbf{H}$  приближении для величин  $V_{\mathbf{r}}^{(1)}$  из (22) следует система уравнений

$$\begin{aligned} \sum_{\Delta} \sigma_{\mathbf{r}, \mathbf{r}+\Delta} \left( V_{\mathbf{r}}^{(1)} - V_{\mathbf{r}+\Delta}^{(1)} \right) &= \\ &= -\sigma_{\mathbf{r}, \mathbf{r}+\Delta_x}^a \left( \tilde{V}_{\rho}^{(0)} - \tilde{V}_{\rho+\Delta_y}^{(0)} \right) + \\ &+ \sigma_{\mathbf{r}-\Delta_x, \mathbf{r}}^a \left( \tilde{V}_{\rho-\Delta_x}^{(0)} - \tilde{V}_{\rho-\Delta_x+\Delta_y}^{(0)} \right) + \\ &+ \sigma_{\mathbf{r}, \mathbf{r}+\Delta_y}^a \left( \tilde{V}_{\rho-\Delta_x+\Delta_y}^{(0)} - \tilde{V}_{\rho+\Delta_y}^{(0)} \right) - \\ &- \sigma_{\mathbf{r}-\Delta_y, \mathbf{r}}^a \left( \tilde{V}_{\rho-\Delta_x}^{(0)} - \tilde{V}_{\rho}^{(0)} \right). \end{aligned} \quad (31)$$

Воспользуемся описанным в разд. 3 приемом и сделаем замену  $\sigma_{\mathbf{r}, \mathbf{r}+\Delta}^a \rightarrow \sigma_{\mathbf{r}, \mathbf{r}+\Delta}^a - \sigma_{a2}$ . В этом случае в правой части (31) отличны от нуля только члены, относящиеся к связям первого типа, причем они пропорциональны величине  $(\sigma_{a1} - \sigma_{a2})$ . Проведем поэтому еще одну замену

$$V_{\mathbf{r}}^{(1)} = \frac{\sigma_{a1} - \sigma_{a2}}{\sigma_1} U_{\mathbf{r}}. \quad (32)$$

В результате уравнение для  $U_{\mathbf{r}}$ , следующее из (31) и записанное в квазиодномерном виде

$$\hat{A}\mathbf{u} = \mathbf{b}^{(1)}, \quad (33)$$

не содержит малого параметра  $(\sigma_{a1} - \sigma_{a2})/\sigma_1$ . В (33) матрица  $\hat{A}$  — та же, что и в (28),  $\mathbf{u}$  — столбец, составленный из величин  $U_{\mathbf{r}}$ ,  $\mathbf{b}^{(1)}$  — столбец, происходящий из правой части (31). Отметим, что на внешних гранях решетки, перпендикулярных оси  $x$ , величины  $U_{\mathbf{r}}$  (как и  $V_{\mathbf{r}}^{(1)}$ ) равны нулю.

Уравнение (33) отличается от (28) только видом правой части. Поэтому оно решалось точно тем же методом, что и (28). Таким же способом находились

и линейные по  $\mathbf{H}$  поправки  $\tilde{V}_{\rho}^{(1)}$  к потенциалам и  $\tilde{V}_{\rho}^{(0)}$ . Найденные в результате величины  $V_{\mathbf{r}}^{(1)}$  и  $\tilde{V}_{\rho}^{(1)}$  использовались при вычислении функции  $\varphi$ , ее производной  $\partial\varphi/\partial h$  и функции  $\chi_z$ , см. разд. 5. Для определения функции  $\chi_z$  проводилась аналогичная процедура по вычислению  $V_{\mathbf{r}}^{(0)}$  и  $V_{\mathbf{r}}^{(1)}$  при условии, что разность потенциалов приложена в направлении оси  $z$ .

## 5. РЕЗУЛЬТАТЫ ЧИСЛЕННОГО ЭКСПЕРИМЕНТА

При использовании формул (5), (14), (18) и (19) для вычисления соответствующих эффективных гальваномагнитных характеристик решеток делаются следующие замены:

$$\begin{aligned} E_{0\alpha}^{(x)}(\mathbf{r}) &\rightarrow V_{\mathbf{r}}^{(0)} - V_{\mathbf{r}+\Delta_{\alpha}}^{(0)}, \\ E_{0\alpha}^{(y)}(\mathbf{r}) &\rightarrow \tilde{V}_{\rho}^{(0)} - \tilde{V}_{\rho+\Delta_{\alpha}}^{(0)}, \\ \mathcal{E}_{\alpha}^{(y)}(\mathbf{r}) &\rightarrow U_{\mathbf{r}} - U_{\mathbf{r}+\Delta_{\alpha}}, \\ \mathcal{E}_{\alpha}^{(x)}(\mathbf{r}) &\rightarrow \tilde{U}_{\rho} - \tilde{U}_{\rho+\Delta_{\alpha}} \end{aligned} \quad (34)$$

$(\alpha = x, y, z)$  и вместо интегрирования проводится суммирование по узлам. В (34)  $\tilde{U}_{\rho}$  связано с  $\tilde{V}_{\rho}^{(1)}$  соотношением вида (32). При определении функции  $\chi_z$  с помощью (15) применялись аналогичные замены с использованием потенциалов  $V_{\mathbf{r}}^{(0)}$  и  $V_{\mathbf{r}}^{(1)}$ , вычисленных при условии, что разность потенциалов приложена вдоль оси  $z$ .

Определение функции  $\varphi(p, h)$  с помощью формул (5), (18) и сравнение с данными работы [5] показало, что все три результата в пределах точности вычислений совпадают во всей области изменения аргументов  $p$  и  $h$ . Это совпадение служит, в частности, подтверждением правильности определения поправки  $E_1(\mathbf{r})$ .

Согласно [4, 5] в окрестности точки фазового перехода металл–диэлектрик ( $h \ll 1$ ,  $|\tau| \ll 1$ ,  $\tau = (p - p_c)/p_c$ , где  $p_c$  — критическая концентрация) функция  $\varphi(p, h)$  в рамках гипотезы подобия ведет себя следующим образом:

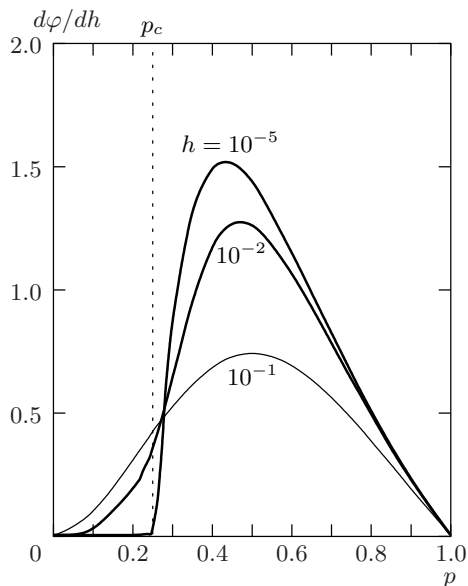
$$\tau > 0, \quad \Delta_0 \ll \tau \ll 1 :$$

$$\varphi = \tau^l \left\{ C_0 + C_1 \frac{h}{\tau^{t/s}} + \dots \right\},$$

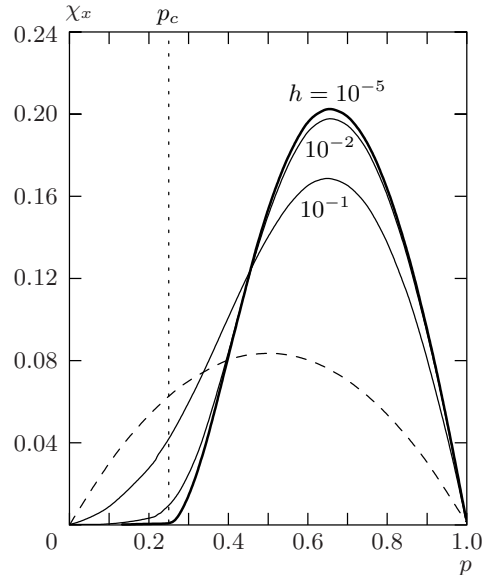
$$|\tau| \ll \Delta_0 : \quad \varphi = h^u \left\{ c_0 + c_1 \frac{\tau}{h^{s/t}} + \dots \right\}, \quad (35)$$

$$\tau < 0, \quad \Delta_0 \ll |\tau| \ll 1 :$$

$$\varphi = \frac{h^2}{(-\tau)^r} \left\{ D_2 + D_3 \frac{h}{(-\tau)^{t/s}} + \dots \right\},$$



**Рис. 2.** Производная  $\partial\varphi/\partial h$  как функция концентрации первой компоненты  $p$  при трех значениях аргумента  $h$



**Рис. 3.** Величина  $\chi_x(p, h)$  как функции концентрации при трех значениях аргумента  $h$  (сплошные линии). Штриховой кривой изображена зависимость  $\chi_x$  от  $p$  при  $h = 1$ :  $\chi_x(p, 1) = p(1 - p)/3$

где  $\Delta_0 = h^{s/t}$  — размер области размазки [7], а  $t$  и  $s$  — критические индексы эффективной проводимости. Индексы  $l$ ,  $u$  и  $r$  связаны двумя соотношениями [4], из которых  $u$  и  $r$  можно выразить через  $l$ :

$$u = \frac{s}{t}l, \quad r = 2\frac{t}{s} - l. \quad (36)$$

Для критических индексов проводимости имеют место следующие оценки (см., например, [5]):

$$t \approx 2, \quad s \approx 0.7 \quad q \approx 0.8, \quad (37)$$

где  $q$  — третий индекс проводимости, связанный с  $t$  и  $s$  соотношением [7]:  $q + t = t/s$ . Обработка данных численных экспериментов по определению функции  $\varphi$ , проведенных в [5] и в настоящей работе, дает

$$\begin{aligned} l &= 3.7 \pm 0.4, \quad u = 1.3 \pm 0.1, \quad r = 1.7 \pm 0.2, \\ C_0 &= 0.3 \pm 0.3, \quad c_0 = 1.4 \pm 0.7, \\ D_2 &= 1.5 \pm 0.8. \end{aligned} \quad (38)$$

Производная  $\partial\varphi/\partial h$ , вычисленная с помощью формулы (19), представлена на рис. 2. Критическое поведение величины  $\partial\varphi/\partial h$  находится дифференцированием разложений (35). Обработка по соответ-

ствующим формулам результатов численного эксперимента для  $\partial\varphi/\partial h$  дает

$$\begin{aligned} l - \frac{t}{s} &= 0.9 \pm 0.6, \quad u - 1 = 0.33 \pm 0.1, \\ r &= 1.8 \pm 0.3, \quad C_1 = 2.9 \pm 2.1, \\ uc_0 &= 1.8 \pm 0.8, \quad 2D_2 = 2.8 \pm 0.6. \end{aligned} \quad (39)$$

Сравнение (38) с (39), (37) показывает удовлетворительное (с учетом довольно большой погрешности определения индексов и особенно численных коэффициентов) согласие в значениях этих величин, полученных двумя разными способами. Отметим, что коэффициент  $C_1$  может быть определен только из данных для  $\partial\varphi/\partial h$ .

Функции  $\chi_x(p, h)$  и  $\chi_z(p, h)$ , вычисленные с помощью формул (14) и (15), представлены на рис. 3 и 4. В окрестности точки фазового перехода металл–диэлектрик для функций  $\chi_x$  и  $\chi_z$  следует ожидать критического поведения вида (выписываем только главные члены соответствующих разложений)

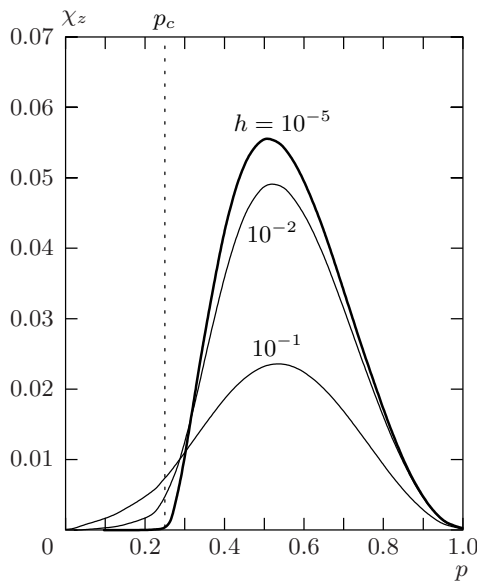


Рис. 4. Величина  $\chi_z(p, h)$  как функция концентрации при трех значениях аргумента  $h$

$$\begin{aligned} \tau > 0, \quad \Delta_0 \ll \tau \ll 1 : \quad \chi_x \approx X_0 \tau^{t_x}, \\ \chi_z \approx Z_0 \tau^{t_z}, \\ |\tau| \ll \Delta_0 : \quad \chi_x \approx x_0 h^{s_x}, \quad \chi_z \approx z_0 h^{s_z}, \\ \tau < 0, \quad \Delta_0 \ll |\tau| \ll 1 : \quad \chi_x \approx X_2 \frac{h^2}{(-\tau)^{q_x}}, \\ \chi_z \approx Z_2 \frac{h^2}{(-\tau)^{q_z}}. \end{aligned} \quad (40)$$

Критические индексы в разложениях (40) связаны соотношениями, аналогичными (36):

$$\begin{aligned} s_x &= \frac{s}{t} t_x, \quad q_x = 2 \frac{t}{s} - t_x, \\ s_z &= \frac{s}{t} t_z, \quad q_z = 2 \frac{t}{s} - t_z. \end{aligned} \quad (41)$$

Обработка данных численного эксперимента для  $\chi_x(p, h)$  и  $\chi_z(p, h)$  в критической области дает

$$\begin{aligned} t_x &= 1.9 \pm 0.1, \quad s_x = 0.74 \pm 0.03, \\ q_x &= 3.3 \pm 1.1, \quad X_0 = 0.26 \pm 0.05, \\ x_0 &= 0.26 \pm 0.04, \quad X_2 = 2.1 \pm 1.1, \end{aligned} \quad (42)$$

$$\begin{aligned} t_z &= 1.86 \pm 0.14, \quad s_z = 0.67 \pm 0.08, \\ q_z &= 3.4 \pm 1.2, \quad Z_0 = 0.3 \pm 0.1, \\ z_0 &= 0.3 \pm 0.2, \quad Z_2 = 1.8 \pm 1.1. \end{aligned} \quad (43)$$

Критические индексы из (42) и (43) удовлетворяют пределах погрешности их определения соотношениям (41).

Для случайно-неоднородных двухкомпонентных сред для величин  $\chi_x$  и  $\chi_z$  справедливы равенства [5]

$$\begin{aligned} \chi_x(p, h) &= \frac{1}{h} \chi_x \left( 1 - p, \frac{1}{h} \right), \\ \chi_z(p, h) &= \frac{1}{h} \chi_z \left( 1 - p, \frac{1}{h} \right). \end{aligned} \quad (44)$$

С помощью этих соотношений функции  $\chi_x(p, h)$  и  $\chi_z(p, h)$  могут быть найдены при  $h > 1$ , если они известны при  $h < 1$  во всем интервале изменения концентрации.

## ЛИТЕРАТУРА

1. Б. И. Шкловский, ЖЭТФ **72**, 288 (1977).
2. А. С. Скал, ДАН СССР **260**, 602 (1981).
3. D. J. Bergman and D. Stroud, Phys. Rev. B **32**, 6097 (1985).
4. Б. Я. Балагуров, ЖЭТФ **93**, 1888 (1987).
5. Б. Я. Балагуров, В. А. Кашин, ЖЭТФ **110**, 1001 (1996).
6. Л. Хейгеман, Д. Янг, *Прикладные итерационные методы*, Мир, Москва (1986).
7. A. L. Efros, B. I. Shklovskii, Phys. Stat. Sol. (b) **76**, 475 (1976).
8. S. Kirkpatrick, Rev. Mod. Phys. **45**, 574 (1973).
9. Б. Я. Балагуров, ФТТ **28**, 3012 (1986).
10. Л. Д. Ландау, Е. М. Либкин, *Электродинамика сплошных сред*, Наука, Москва (1992).